

e-mail: <u>Laboratorium@networks.pl</u>



AB 419

# S P R A W O Z D A N I E 4099/2023/OS Z POMIARÓW PÓL ELEKTROMAGNETYCZNYCH WYKONANYCH DLA POTRZEB OCHRONY ŚRODOWISKA

Badany obiekt: Instalacja radiokomunikacyjna Orange Polska S.A.

Numer i nazwa: 2391 (77084N!) SŁOWIAŃSKA (PWR\_WROCLAW\_DASZYNSKIEGO)

Adres: WROCŁAW, IGNACEGO DASZYŃSKIEGO 12, Powiat m. Wrocław, WOJ.

DOLNOŚLĄSKIE

Data wykonania pomiarów: 2023-06-07

Sprawozdanie z badań bez pisemnej zgody laboratorium nie może być powielane inaczej niż w całości. Wynik przedstawione w niniejszym sprawozdaniu odnoszą się wyłącznie do badanego obiektu i do warunków i konfiguracji urządzeń w dniu wykonywania pomiarów.

Formularz F-13 Wydanie 26 Sprawozdanie: Ochrona środowiska Obowiązuje od dnia 14-06-2022

Strona/Stron: 1/8

# 1. Właściciel badanego obiektu:

Orange Polska S.A., Al. Jerozolimskie 160, 02-326 Warszawa

#### 2. Zleceniodawca:

Orange Polska S.A., Al. Jerozolimskie 160, 02-326 Warszawa

# 3. Przedstawiciel zleceniodawcy:

NetWorkS! Sp.z o.o.

#### 4. Zakres zlecenia:

Wykonanie badania i opracowanie sprawozdania z pomiarów natężenia pola elektrycznego i pola magnetycznego dla instalacji radiokomunikacyjnej Orange Polska S.A. zlokalizowanej w miejscowości WROCŁAW, IGNACEGO DASZYŃSKIEGO 12.

### 5. Cel zlecenia:

Wykonanie pomiarów pól elektomagnetycznych w otoczeniu instalacji radiokomunikacyjnej 2391 (77084N!) SŁOWIAŃSKA (PWR\_WROCLAW\_DASZYNSKIEGO) w odniesieniu do wymagań określonych w Rozporządzeniu Ministra Klimatu z dnia 17 lutego 2020 r. w sprawie sposobów sprawdzania dotrzymania dopuszczalnych poziomów pól elektromagnetycznych w środowisku (Dz.U. 2022 poz. 2630).

# 6. Pomiary zostały wykonane przez:

Ciesielski Daniel Grzegorzewski Jan

# 7. Informacje o źródłach pól elektromagnetycznych

### 7.1. Sposób identyfikacji badanych źródeł pól elektromagnetycznych

Identyfikacji źródeł i parametrów technicznych dokonano na podstawie analizy dokumentacji dotyczącej zlecenia oraz obserwacji miejsca wykonywania badań.

# 7.2. Opis miejsca zainstalowania anten i urządzeń technicznych. Opis obiektu badań i jego otoczenia

Instalacja radiokomunikacyjna zlokalizowana jest na dachu. Anteny zawieszono na masztach usytowanych na dachu budynku. Urządzenia sterujące oraz zasilające zainstalowano w kontenerze na dachu budynku. Wokół instalacji znajduje się miasto.

Instalacja radiokomunikacyjna jest obiektem bezobsługowym. Okresowe stanowiska pracy związane są z prowadzonymi w zależności od potrzeb konserwacjami, przeglądami, strojeniem i naprawami.

Sprawozdanie z badań bez pisemnej zgody laboratorium nie może być powielane inaczej niż w całości. Wynik przedstawione w niniejszym sprawozdaniu odnoszą się wyłącznie do badanego obiektu i do warunków i konfiguracji urządzeń w dniu wykonywania pomiarów.

Formularz F-13 Wydanie nr 26 Sprawozdanie: Ochrona środowiska Obowiązuje od dnia 14-06-2022

Strona/Stron: 2/8

### 7.3. Parametry techniczne źródła pola elektromagnetycznego

Dane przedstawiające maksymalne parametry pracy instalacji przekazane przez zleceniodawce:

Parametry systemu nadawczo-odbiorczego:

| CI  | harakterystyka promienio                                       |               |                |                 |               | kieru                     | nkowa   |  |  |  |  |  |
|-----|--|---------------|----------------|-----------------|---------------|---------------------------|---|--|--|--|--|--|
| R   | zeczywisty czas pracy [h/                                      | 'dobę]        |                | 24              |               |                           |   |  |  |  |  |  |
|     | Warunki pracy  |               |                | znamionowe      |               |                           |   |  |  |  |  |  |
|     | Rodzaj wytwarzanego p  | ola           |                | stacjonarne     |               |                           |   |  |  |  |  |  |
| Lp. | Częstotliwość lub<br>Lp. zakresy częstotliwości<br>pracy [MHz] |               |                | liczba<br>anten | Azymut<br>[°] | kąt<br>pochylenia*<br>[º] | Wysokość środka<br>elektrycznego<br>anteny<br>[m n.p.t] | Równoważna moc<br>promieniowana<br>izotropowo (EIRP) [W] |  |  |  |  |
| 1   | 900/1800/2100  |               | 8R6v06<br>wei  | 1               | 48            | 4/4/4                     | 32.7  | 4235   |  |  |  |  |
| 2   | 800/2600   |               | 8R6v06<br>wei  | 1               | 48            | 4/4                       | 32.7  | 4722   |  |  |  |  |
| 3   | 900/1800/2100  | ATR451<br>Hua | 8R6v06<br>wei  | 1               | 190           | 6/6/6                     | 33.7  | 4267   |  |  |  |  |
| 4   | 800/2600   | ATR4518R6v06  |                | 1               | 190           | 6/6                       | 33.7  | 4722   |  |  |  |  |
| 5   | 5 900/1800/2100 ATR4518<br>Huav                                |               |                | 1               | 302           | 4/4/4                     | 32.7  | 4212   |  |  |  |  |
| 6   | 800/2600   |               | 8R6v06<br>iwei | 1               | 302           | 4/4                       | 32.7  | 4722   |  |  |  |  |

<sup>\*</sup> wskazane wartości kąta pochylenia anten, zgodnie z informacją uzyskaną od zleceniodawcy, są wartościami stałymi

Parametry radiolinii:

| Char | akterystyka promie                          |                              |         | kierunkowa                        |                    |                           |               |   |  |  |  |
|------|---|------------------------------|---------|-----------------------------------|--------------------|---------------------------|---------------|---|--|--|--|
| Rzec | zywisty czas pracy                          | [h/dobę]                     |         |                                   | 24                 |                           |               |   |  |  |  |
| Waru | ınki pracy                                  |                              |         |                                   |                    | znamionowe                | 9             |   |  |  |  |
| Rodz | aj wytwarzanego p                           | ola                          |         |                                   |                    | stacjonarne               | 1             |   |  |  |  |
|      |   | Linia radiowa                | a       |                                   | Antena             |                           |               |   |  |  |  |
| Lp.  | Typ/ Producent                              | Częstotliwość<br>pracy [GHz] | promier | ażna moc<br>niowana<br>(EIRP) [W] | Typ/<br>producent  | Średnica<br>anteny<br>[m] | Azymut<br>[°] | Wysokość<br>zainstalowania<br>n.p.t [m] |  |  |  |
| 1.   | RTN 380 R2<br>70/80GHz<br>62.5MHz<br>Huawei | 80                           | 17      | 79                                | VHLP1-80<br>Andrew | 0.3                       | 44            | 32                                      |  |  |  |

# 7.4 Inne źródła pól elektromagnetycznych

Na podstawie informacji otrzymanych od użytkownika oraz obserwacji otoczenia miejsca wykonywania pomiarów stwierdzono występowanie innych źródeł pola-EM, pracujących w systemie: telefonii komórkowej (800MHz-2600MHz),linii radiowych (5GHz – 90GHz), które istotnie wpływają na wyniki pomiarów.

# 8. Opis pomiarów

# 8.1. Metoda badań

Zgodna z rozporządzeniem Ministra Klimatu z dnia 17 lutego 2020 r. w sprawie sposobów sprawdzania dotrzymania dopuszczalnych poziomów pól elektromagnetycznych w środowisku (Dz.U. 2022 poz. 2630), określona w pkt 25 ppkt 1 załącznika do niniejszego rozporządzenia.

Zgodnie z art. 122a ust. 1b ustawy Prawo Ochrony Środowiska, w przypadku wprowadzenia na części albo całym terytorium Rzeczypospolitej Polskiej stanu nadzwyczajnego, o którym mowa w art. 228 ust. 1 Konstytucji Rzeczypospolitej Polskiej z dnia 2 kwietnia 1997 r. (Dz. U. poz. 483, z 2001 r. poz. 319, z 2006 r. poz. 1471 oraz z 2009 r. poz. 946), lub stanu zagrożenia

Sprawozdanie z badań bez pisemnej zgody laboratorium nie może być powielane inaczej niż w całości. Wynik przedstawione w niniejszym sprawozdaniu odnoszą się wyłącznie do badanego obiektu i do warunków i konfiguracji urządzeń w dniu wykonywania pomiarów.

Formularz F-13 Wydanie nr 26 Sprawozdanie: Ochrona środowiska Obowiązuje od dnia 14-06-2022

epidemicznego lub stanu epidemii, o których mowa w art. 46 ustawy z dnia 5 grudnia 2008 r. o zapobieganiu oraz zwalczaniu zakażeń i chorób zakaźnych u ludzi (Dz. U. 2022, poz. 1657), pomiarów , nie przeprowadza się w lokalach mieszkalnych oraz w lokalach użytkowych zlokalizowanych na terytorium objętym stanem nadzwyczajnym, stanem zagrożenia epidemicznego lub stanem epidemii.

W związku z obecnie obowiązującym stanem zagrożenia epidemicznego, pomiarów nie wykonano w lokalach mieszkalnych oraz w lokalach użytkowych zlokalizowanych w obszarze pomiarowym przedmiotowej instalacji radiokomunikacyjnej.

#### 8.2. Termin pomiarów i warunki środowiskowe

Podczas wykonywania pomiarów pól elektromagnetycznych nie występowały opady atmosferyczne. Wyniki pomiaru parametrów pogodowych przedstawia poniższa tabela:

| Data          | Godzina       |                | Warunki śro  | odowiskowe              |              |  |  |
|---------------|---------------|----------------|--------------|-------------------------|--------------|--|--|
| [rrrr-mm- dd] | [hh:mm-hh:mm] | Temperati      | ura [ºC]     | Wilgotność względna [%] |              |  |  |
| 2022 06 07    |               | Przed pomiarem | Po pomiarach | Przed pomiarem          | Po pomiarach |  |  |
| 2023-06-07    | 15:10-16:30   | 22.4           | 22.9         | 41.5                    | 41.1         |  |  |

Przedstawione wyżej warunki środowiskowe, występujące podczas wykonywania pomiarów pól elektromagnetycznych, są zgodne ze specyfikacją techniczną użytego zestawu pomiarowego.

#### 8.3. Warunki pracy urządzeń nadawczych

Podczas pomiarów w przypadku uzyskania wyniku pomiaru szerokopasmowego wykonanego zastosowaną metodą, dla zakresów częstotliwości od 10 MHz do 300 GHz, powiększonego o rozszerzoną niepewność pomiaru U dla współczynnika rozszerzenia k = 2 <u>przekraczającego</u> 70% najniższej dopuszczalnej wartości składowej elektrycznej lub magnetycznej pola dla objętych pomiarami zakresów częstotliwości, uwzględnia się poprawki pomiarowe przekazane przez zleceniodawcę, umożliwiające uwzględnienie maksymalnych parametrów pracy instalacji zgodnie z pkt 7 załącznika do Rozporządzeniem Ministra Klimatu z dnia 17 lutego 2020 r. w sprawdzania dotrzymania dopuszczalnych elektromagnetycznych w środowisku (Dz. U. 2022, poz. 2630) zaznaczając, że wymagane jest wykonanie pomiaru z wykorzystaniem miernika selektywnego. W przypadku uzyskania wyniku pomiaru szerokopasmowego wykonanego zastosowaną metodą, dla zakresów częstotliwości od 10 MHz do 300 GHz, powiększonego o rozszerzoną niepewność pomiaru U dla współczynnika rozszerzenia k = 2 <u>nieprzekraczającego</u> 70% najniższej dopuszczalnej wartości składowej elektrycznej lub magnetycznej pola dla objętych pomiarami zakresów częstotliwości, nie uwzględnia się poprawek pomiarowych.

# 8.4. Wyposażenie pomiarowe

Zestaw pomiarowy służący do pomiaru natężenia składowej elektrycznej pola elektromagnetycznego złożony z szerokopasmowego miernika i sondy pomiarowej:

| Oznaczeni<br>e<br>miernika | Producent       | Model  | Numer<br>fabryczny |       |                 | Model              | Numer<br>fabryczny |
|----------------------------|-----------------|--|--------------------|-------|-----------------|--------------------|--------------------|
| MW-04                      | Wavecontr<br>ol | Miernik pól<br>elektromagnetyczny<br>ch SMP2 | 22SN195<br>3       | SW-07 | Wavecontr<br>ol | Sonda<br>WPF6<br>0 | 22WP23019<br>3     |

Mierniki natężenia pola elektromagnetycznego podlegają okresowemu sprawdzeniu zgodnie z procedurą wewnętrzną P-03 i PB-01. Świadectwo wzorcowania zestawu pomiarowego z dnia 10 maja 2023 o numerze LWiMP/W/172/23 wydane przez Politechnika Wrocławska.

Data ważności świadectwa wzorcowania: 10 maja 2025 (zgodnie z procedurą wewnętrzną P-03).

| Oznaczeni<br>e<br>miernika | Producent       | Model  | Numer Oznaczeni<br>fabryczny e sondy |       | Producent       | Model                    | Numer<br>fabryczny |
|----------------------------|-----------------|--|--------------------------------------|-------|-----------------|--------------------------|--------------------|
| MW-04                      | Wavecontr<br>ol | Miernik pól<br>elektromagnetyczny<br>ch SMP2 | 22SN195<br>3                         | SW-08 | Wavecontr<br>ol | Sond<br>a<br>WPF3<br>-HP | 22WP03043<br>0     |

Mierniki natężenia pola elektromagnetycznego podlegają okresowemu sprawdzeniu zgodnie z procedurą wewnętrzną P-03 i PB-01. Świadectwo wzorcowania zestawu pomiarowego z dnia 10 czerwca 2022 o numerze LWiMP/W/155/22 wydane przez Politechnika Wrocławska.

Data ważności świadectwa wzorcowania: 10 czerwca 2024 (zgodnie z procedurą wewnętrzną P-03).

Sprawozdanie z badań bez pisemnej zgody laboratorium nie może być powielane inaczej niż w całości. Wynik przedstawione w niniejszym sprawozdaniu odnoszą się wyłącznie do badanego obiektu i do warunków i konfiguracji urządzeń w dniu wykonywania pomiarów.

Formularz F-13 Wydanie nr 26 Sprawozdanie: Ochrona środowiska Obowiązuje od dnia 14-06-2022

Termohigrometr:

| Oznaczenie: | TH-13 | Producent: | AZ INSTRUMENT CORP | Model: | Termohigrometr AZ8706 |
|-------------|-------|------------|--------------------|--------|-----------------------|
|             |       |            |                    |        |                       |

Data ważności świadectwa wzorcowania: 3 stycznia 2025 (zgodnie z procedurą wewnętrzną P-03).

Dalmierz:

| Oznaczenie | Producent | Тур                          | Numer<br>seryjny | Nr świadectwa<br>wzorcowania | Data świadectwa<br>wzorcowania |
|------------|-----------|------------------------------|------------------|------------------------------|--------------------------------|
| D-10       | Leica     | Dalmierz Leica<br>Disto D510 | 1042956690       | 4609.13-M11-4180-<br>1748/14 | 9 stycznia 2015                |

Data ważności świadectwa wzorcowania: 9 stycznia 2025 (zgodnie z procedurą wewnętrzną P-03).

# Odbiornik GNSS:

| Odbiornik GNSS wbudowany w miernik natężenia pola | Producent | Model   |  |  |
|---|-----------|---------|--|--|
| elektromagnetycznego użyty<br>podczas pomiarów    | UBlox     | MAX-M8Q |  |  |

Odbiorniki podlegają okresowemu sprawdzeniu zgodnie z procedurą wewnętrzną P-03.

# 9. Wyniki pomiarów

Pole elektryczne

| Nr<br>pionu | Opis umiejscowienia<br>pionu (punktu)<br>pomiarowego   | Wysokość<br>pomiaru<br>[m] | Zmierzona wartość<br>natężenia pola<br>elektrycznego E<br>[V/m] <sup>1,5</sup> |                    |       | Wartość<br>natężenia pola<br>elektrycznego<br>powiększona o<br>niepewność<br>pomiaru <sup>4</sup> E | Wskaźnikowa wartość<br>poziomu emisji pól<br>elektromagnetycznych<br>WM <sub>E</sub> <sup>3</sup> | Współrzędne<br>geograficzne<br>pionu<br>(punktu)<br>pomiarowego <sup>2</sup> |
|-------------|--|----------------------------|--|--------------------|-------|---|---|--|
|             |  |                            | Sonda<br>SW-<br>07   | Sonda<br>SW-<br>08 | SUMA  | [V/m]   |   |  |
| 1           | GKP w odległości 14m od anteny<br>sektorowej az. 190°  | 0.3-2.0                    | <1.0*  | <1.0*              | <1.0* | 1.3   | 0.05  | 51°7'32.5"<br>17°2'57.5"   |
| 2           | DPP w witrynie okna salonu Laser<br>House odległości 47m od anteny<br>sektorowej az. 190°  | 2.0                        | 1.9  | 1.9                | 1.9   | 2.4   | 0.09  | 51°7'32.2"<br>17°2'59.6"   |
| 3           | DPP w witrynie okna piekarni w<br>odległości 62m od anteny<br>sektorowej az. 190°  | 0.3-2.0                    | 1.7  | 1.7                | 1.7   | 2.2   | 0.08  | 51°7'32.2"<br>17°3'0.7"  |
| 4           | GKP w odległości 46m od anteny<br>sektorowej az. 190°  | 0.3-2.0                    | <1.0*  | <1.0*              | <1.0* | 1.3   | 0.05  | 51°7'31.4"<br>17°2'57.1"   |
| 5           | GKP w odległości 79m od anteny sektorowej az. 190°   | 0.3-2.0                    | <1.0*  | <1.0*              | <1.0* | 1.3   | 0.05  | 51°7'30.7"<br>17°2'57.1"   |
| 6           | GKP w odległości 105m od anteny sektorowej az. 190°  | 0.3-2.0                    | <1.0*  | <1.0*              | <1.0* | 1.3   | 0.05  | 51°7'29.6"<br>17°2'56.8"   |
| -           | GKP w odległości 174m od anteny sektorowej az. 190°  | 0.3-2.0                    | <1.0*  | <1.0*              | <1.0* | 1.3   | 0.05  | 51°7'27.5"<br>17°2'56.0"   |
| 8           | GKP w odległości 35m od anteny radioliniowej az. 44°   | 0.3-2.0                    | <1.0*  | <1.0*              | <1.0* | 1.3   | 0.05  | 51°7'34.0"<br>17°2'58.9"   |
| 9           | GKP w odległości 61m od anteny radioliniowej az. 44°   | 0.3-2.0                    | <1.0*  | <1.0*              | <1.0* | 1.3   | 0.05  | 51°7'34.3"<br>17°3'0.0"  |
| 10          | GKP w odległości 41m od anteny sektorowej az. 48°  | 0.3-2.0                    | <1.0*  | <1.0*              | <1.0* | 1.3   | 0.05  | 51°7'34.0"<br>17°2'59.3"   |
| 11          | GKP w odległości 53m od anteny<br>sektorowej az. 48°   | 2.0                        | 1.8  | 1.8                | 1.8   | 2.3   | 0.08  | 51°7'34.3"<br>17°2'59.6"   |
| 12          | PKP w odległości 55m od anteny sektorowej az. 48°  | 2.0                        | 1.7  | 1.7                | 1.7   | 2.2   | 0.08  | 51°7'34.7"<br>17°2'58.9"   |
| 13          | PKP w odległości 81m od anteny<br>sektorowej az. 48°   | 0.3-2.0                    | <1.0*  | <1.0*              | <1.0* | 1.3   | 0.05  | 51°7'35.8"<br>17°2'58.9"   |
| 14          | DPP w drzwiach budynku ul. Jedn.<br>Narodowej 173A odległości 76m od<br>anteny sektorowej az. 302°                                       | 0.3-2.0                    | <1.0*  | <1.0*              | <1.0* | 1.3   | 0.05  | 51°7'35.8"<br>17°2'57.1"   |
| 15          | DPP w drzwiach klatki schodowej<br>budynku przy ul. Żeromskiego 74 w<br>odległości 52m od anteny<br>radioliniowej az. 44°                | 2.0                        | 2.8  | 2.8                | 2.8   | 3.6   | 0.13  | 51°7'34.0"<br>17°3'0.0"  |
| 16          | DPP w oknie ostatniego pietra klatki<br>schodowej budynku przy ul.<br>Żeromskiego 78 w odległości 79m<br>od anteny radioliniowej az. 44° | 2.0                        | 3.3  | 3.3                | 3.3   | 4.2   | 0.15  | 51°7'35.0"<br>17°3'0.0"  |

Sprawozdanie z badań bez pisemnej zgody laboratorium nie może być powielane inaczej niż w całości. Wynik przedstawione w niniejszym sprawozdaniu odnoszą się wyłącznie do badanego obiektu i do warunków i konfiguracji urządzeń w dniu wykonywania pomiarów.

Formularz F-13 Wydanie nr 26 Sprawozdanie: Ochrona środowiska Obowiązuje od dnia 14-06-2022

Strona/Stron: 5/8

| 17 | DPP w drzwiach wejsciowych klatki<br>schodowej budynku przy ul.<br>Żeromskiego 80 w odległości 88m<br>od anteny sektorowej az. 48°           | 0.3-2.0 | <1.0* | <1.0* | <1.0* | 1.3 | 0.05 | 51°7'35.4"<br>17°3'0.4"  |
|----|--|---------|-------|-------|-------|-----|------|--------------------------|
| 18 | DPP w oknie klatki schodowej na<br>ostatnim piętrze w budynku przy ul.<br>Daszyńskiego 10A w odległości 23m<br>od anteny sektorowej az. 302° | 0.3-2.0 | <1.0* | <1.0* | <1.0* | 1.3 | 0.05 | 51°7'34.0"<br>17°2'57.5" |
| 19 | DPP w witrynie okna studia tatuazu<br>Breslau przy UI. Daszyńskiego 10 w<br>odległości 18m od anteny<br>sektorowej az. 302°                  | 0.3-2.0 | <1.0* | <1.0* | <1.0* | 1.3 | 0.05 | 51°7'33.2"<br>17°2'56.8" |
| 20 | DPP w drzwiach wejściowych do<br>budynku przy ul. Daszyńskiego 8 w<br>odległości 34m od anteny<br>sektorowej az. 302°                        | 0.3-2.0 | <1.0* | <1.0* | <1.0* | 1.3 | 0.05 | 51°7'33.6"<br>17°2'56.0" |
| 21 | DPP w drzwiach wejściowych do<br>budynku przy ul. Daszyńskiego 6 w<br>odległości 49m od anteny<br>sektorowej az. 302°                        | 0.3-2.0 | <1.0* | <1.0* | <1.0* | 1.3 | 0.05 | 51°7'34.0"<br>17°2'55.3" |
| 22 | GKP w odległości 81m od anteny sektorowej az. 302°   | 0.3-2.0 | <1.0* | <1.0* | <1.0* | 1.3 | 0.05 | 51°7'34.7"<br>17°2'53.9" |
| -  | GKP w odległości 207m od anteny sektorowej az. 302°  | 0.3-2.0 | <1.0* | <1.0* | <1.0* | 1.3 | 0.05 | 51°7'36.8"<br>17°2'48.5" |
| 24 | DPP w oknie ostatniego pietra klatki<br>schodowej w budynku przy ul.<br>Daszyńskiego 9 w odległości 55m<br>od anteny sektorowej az. 190°     | 2.0     | 3.4   | 3.4   | 3.4   | 4.4 | 0.16 | 51°7'33.2"<br>17°2'55.0" |
| 25 | GKP w odległości 102m od anteny sektorowej az. 48°   | 0.3-2.0 | <1.0* | <1.0* | <1.0* | 1.3 | 0.05 | 51°7'35.4"<br>17°3'1.4"  |
| -  | GKP w odległości 207m od anteny sektorowej az. 48°   | 0.3-2.0 | <1.0* | <1.0* | <1.0* | 1.3 | 0.05 | 51°7'37.9"<br>17°3'5.4"  |

Pole magnetyczne (wyznaczone na podstawie pomiaru wartości natężenia pola elektrycznego)

| Nr<br>pionu | Opis umiejscowienia<br>pionu (punktu)<br>pomiarowego  | Wysokość<br>pomiaru<br>[m] | magnetycznego H [A/m]¹ |         | Wartość<br>natężenia pola<br>magnetycznego<br>powiększona o<br>niepewność<br>pomiaru <sup>4</sup> H<br>[A/m] | Wskaźnikowa wartość<br>poziomu emisji pól<br>elektromagnetycznych<br>WM <sub>H</sub> <sup>3</sup> | Współrzędne<br>geograficzne<br>pionu<br>(punktu)<br>pomiarowego <sup>2</sup> |                          |
|-------------|---|----------------------------|------------------------|---------|--|---|--|--------------------------|
|             |   |                            | SW-07                  | SW-08   | SUMA   | [77111]   |  |                          |
| 1           | GKP w odległości 14m od<br>anteny sektorowej az. 190°   | 0.3-2.0                    | <0.003*                | <0.003* | <0.003*  | 0.003   | 0.05   | 51°7'32.5"<br>17°2'57.5" |
| 2           | DPP w witrynie okna salonu<br>Laser House odległości 47m<br>od anteny sektorowej az.<br>190°          | 2.0                        | 0.005                  | 0.005   | 0.005  | 0.006   | 0.09   | 51°7'32.2"<br>17°2'59.6" |
| 3           | DPP w witrynie okna piekarni<br>w odległości 62m od anteny<br>sektorowej az. 190°                     | 0.3-2.0                    | 0.005                  | 0.005   | 0.005  | 0.006   | 0.08   | 51°7'32.2"<br>17°3'0.7"  |
| 4           | GKP w odległości 46m od<br>anteny sektorowej az. 190°   | 0.3-2.0                    | <0.003*                | <0.003* | <0.003*  | 0.003   | 0.05   | 51°7'31.4"<br>17°2'57.1" |
| 5           | GKP w odległości 79m od<br>anteny sektorowej az. 190°   | 0.3-2.0                    | <0.003*                | <0.003* | <0.003*  | 0.003   | 0.05   | 51°7'30.7"<br>17°2'57.1" |
| 6           | GKP w odległości 105m od<br>anteny sektorowej az. 190°  | 0.3-2.0                    | <0.003*                | <0.003* | <0.003*  | 0.003   | 0.05   | 51°7'29.6"<br>17°2'56.8" |
| -           | GKP w odległości 174m od anteny sektorowej az. 190°   | 0.3-2.0                    | <0.003*                | <0.003* | <0.003*  | 0.003   | 0.05   | 51°7'27.5"<br>17°2'56.0" |
| 8           | GKP w odległości 35m od<br>anteny radioliniowej az. 44°   | 0.3-2.0                    | <0.003*                | <0.003* | <0.003*  | 0.003   | 0.05   | 51°7'34.0"<br>17°2'58.9" |
| 9           | GKP w odległości 61m od<br>anteny radioliniowej az. 44°   | 0.3-2.0                    | <0.003*                | <0.003* | <0.003*  | 0.003   | 0.05   | 51°7'34.3"<br>17°3'0.0"  |
| 10          | GKP w odległości 41m od anteny sektorowej az. 48°   | 0.3-2.0                    | <0.003*                | <0.003* | <0.003*  | 0.003   | 0.05   | 51°7'34.0"<br>17°2'59.3" |
| 11          | GKP w odległości 53m od anteny sektorowej az. 48°   | 2.0                        | 0.005                  | 0.005   | 0.005  | 0.006   | 0.08   | 51°7'34.3"<br>17°2'59.6" |
| 12          | PKP w odległości 55m od<br>anteny sektorowej az. 48°  | 2.0                        | 0.005                  | 0.005   | 0.005  | 0.006   | 0.08   | 51°7'34.7"<br>17°2'58.9" |
| 13          | PKP w odległości 81m od<br>anteny sektorowej az. 48°  | 0.3-2.0                    | <0.003*                | <0.003* | <0.003*  | 0.003   | 0.05   | 51°7'35.8"<br>17°2'58.9" |
| 14          | DPP w drzwiach budynku ul.<br>Jedn. Narodowej 173A<br>odległości 76m od anteny<br>sektorowej az. 302° | 0.3-2.0                    | <0.003*                | <0.003* | <0.003*  | 0.003   | 0.05   | 51°7'35.8"<br>17°2'57.1" |

Sprawozdanie z badań bez pisemnej zgody laboratorium nie może być powielane inaczej niż w całości. Wynik przedstawione w niniejszym sprawozdaniu odnoszą się wyłącznie do badanego obiektu i do warunków i konfiguracji urządzeń w dniu wykonywania pomiarów.

| 15 | DPP w drzwiach klatki<br>schodowej budynku przy ul.<br>Żeromskiego 74 w odległości<br>52m od anteny radioliniowej<br>az. 44°                       | 2.0     | 0.007   | 0.007   | 0.007   | 0.01  | 0.13 | 51°7'34.0"<br>17°3'0.0"  |
|----|--|---------|---------|---------|---------|-------|------|--------------------------|
| 16 | DPP w oknie ostatniego pietra<br>klatki schodowej budynku<br>przy ul. Żeromskiego 78 w<br>odległości 79m od anteny<br>radioliniowej az. 44°        | 2.0     | 0.009   | 0.009   | 0.009   | 0.011 | 0.15 | 51°7'35.0"<br>17°3'0.0"  |
| 17 | DPP w drzwiach wejsciowych<br>klatki schodowej budynku<br>przy ul. Żeromskiego 80 w<br>odległości 88m od anteny<br>sektorowej az. 48°              | 0.3-2.0 | <0.003* | <0.003* | <0.003* | 0.003 | 0.05 | 51°7'35.4"<br>17°3'0.4"  |
| 18 | DPP w oknie klatki schodowej<br>na ostatnim piętrze w<br>budynku przy ul.<br>Daszyńskiego 10A w<br>odległości 23m od anteny<br>sektorowej az. 302° | 0.3-2.0 | <0.003* | <0.003* | <0.003* | 0.003 | 0.05 | 51°7'34.0"<br>17°2'57.5" |
| 19 | DPP w witrynie okna studia<br>tatuazu Breslau przy UI.<br>Daszyńskiego 10 w odległości<br>18m od anteny sektorowej<br>az. 302°                     | 0.3-2.0 | <0.003* | <0.003* | <0.003* | 0.003 | 0.05 | 51°7'33.2"<br>17°2'56.8" |
| 20 | DPP w drzwiach wejściowych<br>do budynku przy ul.<br>Daszyńskiego 8 w odległości<br>34m od anteny sektorowej<br>az. 302°                           | 0.3-2.0 | <0.003* | <0.003* | <0.003* | 0.003 | 0.05 | 51°7'33.6"<br>17°2'56.0" |
| 21 | DPP w drzwiach wejściowych<br>do budynku przy ul.<br>Daszyńskiego 6 w odległości<br>49m od anteny sektorowej<br>az. 302°                           | 0.3-2.0 | <0.003* | <0.003* | <0.003* | 0.003 | 0.05 | 51°7'34.0"<br>17°2'55.3" |
| 22 | GKP w odległości 81m od anteny sektorowej az. 302°   | 0.3-2.0 | <0.003* | <0.003* | <0.003* | 0.003 | 0.05 | 51°7'34.7"<br>17°2'53.9" |
| -  | GKP w odległości 207m od anteny sektorowej az. 302°  | 0.3-2.0 | <0.003* | <0.003* | <0.003* | 0.003 | 0.05 | 51°7'36.8"<br>17°2'48.5" |
| 24 | DPP w oknie ostatniego pietra<br>klatki schodowej w budynku<br>przy ul. Daszyńskiego 9 w<br>odległości 55m od anteny<br>sektorowej az. 190°        | 2.0     | 0.009   | 0.009   | 0.009   | 0.012 | 0.16 | 51°7'33.2"<br>17°2'55.0" |
| 25 | GKP w odległości 102m od anteny sektorowej az. 48°   | 0.3-2.0 | <0.003* | <0.003* | <0.003* | 0.003 | 0.05 | 51°7'35.4"<br>17°3'1.4"  |
| -  | GKP w odległości 207m od anteny sektorowej az. 48°   | 0.3-2.0 | <0.003* | <0.003* | <0.003* | 0.003 | 0.05 | 51°7'37.9"<br>17°3'5.4"  |

GKP - Główny Kierunek Pomiarowy

DPP – Dodatkowy Pion Pomiarowy

PKP - Pomocniczy Kierunek Pomiarowy

Niepewność oszacowano zgodnie z dokumentem P-03 "Procedura nadzoru nad wyposażeniem" w postaci niepewności rozszerzonej wynikającej z niepewności standardowej pomnożonej przez współczynnik rozszerzenia k=2. Całkowita szacowana niepewność rozszerzona składowej E wynosi odpowiednio:

sonda SW-07: 28.3% dla częstotliwości do 3 GHz, sonda SW-08: 28.5% dla częstotliwości do 3 GHz

Umiejscowienie pionów (punktów) pomiarowych przedstawiono w załączniku nr 2 do niniejszego sprawozdania.

Sprawozdanie z badań bez pisemnej zgody laboratorium nie może być powielane inaczej niż w całości. Wynik przedstawione w niniejszym sprawozdaniu odnoszą się wyłącznie do badanego obiektu i do warunków i konfiguracji urządzeń w dniu wykonywania pomiarów.

Formularz F-13 Wydanie nr 26 Sprawozdanie: Ochrona środowiska Obowiązuje od dnia 14-06-2022 Strona/Stron: 7/8

<sup>&</sup>lt;sup>1</sup> wyniki oznaczone \* są wynikami poniżej czułości zestawu pomiarowego

<sup>&</sup>lt;sup>2</sup> współrzędne geograficzne pozyskane metodą pomiaru bezpośredniego

³ do wyznaczenia wartości wskaźnikowej WM<sub>E</sub> i WM<sub>H</sub> przyjęto na podstawie uzgodnień z klientem oraz rozpoznania źródeł, jako wartości dopuszczalne pola elektrycznego i magnetycznego odpowiednio 28 V/m i 0,073 A/m.
 ⁴ do wyznaczenia niepewności dla wyników poniżej czułości zestawu pomiarowego, przyjęto niepewność dla minimalnej

<sup>4</sup> do wyznaczenia niepewności dla wyników poniżej czułości zestawu pomiarowego, przyjęto niepewność dla minimalnej wartości z zakresu pomiarowego.

<sup>&</sup>lt;sup>5</sup> maksymalna wartość chwilowa

# 10. Omówienie wyników pomiarów

W związku z tym, że żadna z wartości zmierzonych, udokumentowanych w tabelach w pkt. 9, uzyskanych w skutek zastosowania pomiaru szerokopasmowego, powiększonego o rozszerzoną niepewność pomiaru U dla współczynnika rozszerzenia k = 2 <u>nie</u> przekroczyła 70% najniższej dopuszczalnej wartości składowej elektrycznej lub magnetycznej pola dla objętych pomiarami zakresów częstotliwości, nie uwzględnia się poprawek pomiarowych.

W wyniku zastosowania sposobu sprawdzenia dotrzymania dopuszczalnych poziomów pól elektromagnetycznych w środowisku, zgodnie pkt 25 ppkt 1 Rozporządzenia Ministra Klimatu z dnia 17 lutego 2020 r. (Dz. U. 2022, poz. 2630), w związku z tym, że żadna z wartości wskaźnikowych, udokumentowanych w tabelach w pkt. 9 nie przekracza wartości 1, stwierdza się, że w miejscach, w których wykonano pomiary w otoczeniu 2391 (77084N!) instalacji radiokomunikacyjnej SŁOWIAŃSKA (PWR WROCLAW DASZYNSKIEGO), dopuszczalne poziomy pól elektromagnetycznych w środowisku należy uznać za dotrzymane.

# 11. Podstawa prawna

- 1) Ustawa z dnia 27 kwietnia 2001 r. Prawo ochrony środowiska (Dz.U. 2022 poz. 2556)
- 2) Rozporządzenie Ministra Zdrowia z dnia 17 grudnia 2019 r. w sprawie dopuszczalnych poziomów pól elektromagnetycznych w środowisku (Dz. U. 2019, poz. 2448)
- 3) Rozporządzenie Ministra Klimatu z dnia 17 lutego 2020 r. w sprawie sposobów sprawdzania dotrzymania dopuszczalnych poziomów pól elektromagnetycznych w środowisku (Dz. U. 2022, poz. 2630),
- 4) Akredytacja nr AB 419 wydana przez Polskie Centrum Akredytacji (wydanie 21, z dnia 11 kwietnia 2023 r.)

# 12. Spis załączników

Załącznik 1. Lokalizacja obiektu badań

Załącznik 2. Usytuowanie pionów (punktów) pomiarowych

Załącznik 3. Dokumentacja fotograficzna obiektu badań

#### 13. Data wydania i autoryzowania sprawozdania

Obliczenia i sprawozdanie wykonał:

Signed by / Podpisano przez:

Anna Kacperska

Date / Data: 2023-06-13

Sprawozdanie autoryzował:



Signed by / Podpisano przez:

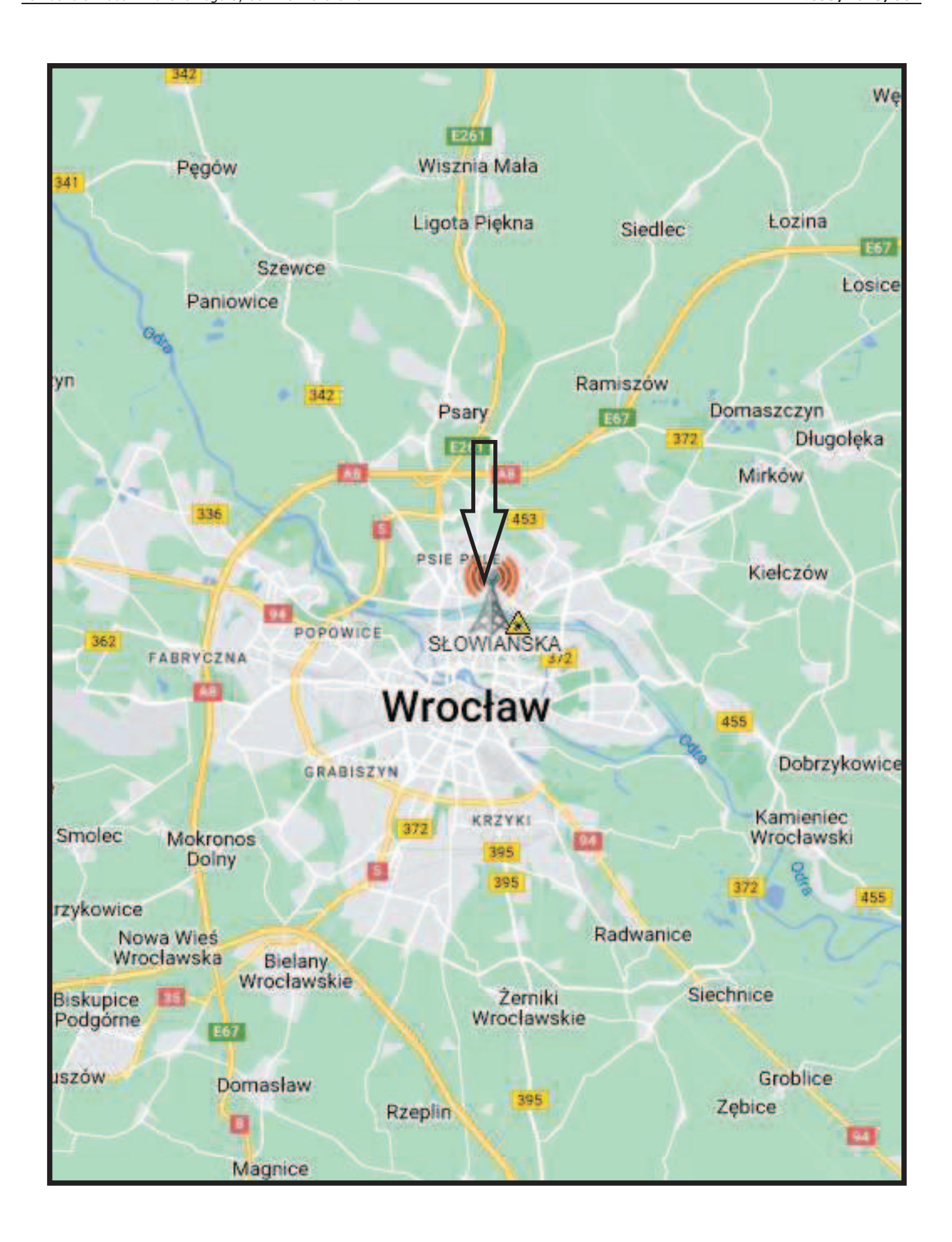
Wachowicz

Date / Data: 2023-06-13 20:11

Koniec sprawozdania

Sprawozdanie z badań bez pisemnej zgody laboratorium nie może być powielane inaczej niż w całości. Wynik przedstawione w niniejszym sprawozdaniu odnoszą się wyłącznie do badanego obiektu i do warunków i konfiguracji urządzeń w dniu wykonywania pomiarów.

Formularz F-13 Wydanie nr 26 Sprawozdanie: Ochrona środowiska Obowiązuje od dnia 14-06-2022 Strona/Stron: 8/8



Załącznik nr 1

INSTALACJA RADIOKOMUNIKACYJNA Orange Polska S.A. 2391 (77084N!) SŁOWIAŃSKA (PWR\_WROCLAW\_DASZYNSKIEGO)

Lokalizacja instalacji radiokomunikacyjnej



| Załącznik nr 2 | Instalacja radiokomunikacyjna Orange Polska S.A. PWR_WROCLAW_DASZYNSKIEGO (77084N!) Usytuowanie pionów pomiarowych w otoczeniu instalacji radiokomunikacyjnej |  |   |
|----------------|---|--|---|
|                | Legenda:  Pion pomiarowy  | Kierunek oddziaływania anten sektorowych | Kierunek oddziaływania anten radioliniowych |

Sprawozdanie: Ochrona środowiska



Załącznik nr 3

INSTALACJA RADIOKOMUNIKACYJNA Orange Polska S.A. 2391 (77084N!) SŁOWIAŃSKA (PWR\_WROCLAW\_DASZYNSKIEGO)

Zdjęcia instalacji radiokomunikacyjnej